

# О ПРИЗНАКАХ ПРОЯВЛЕНИЯ МНОГОФОНОННОЙ ИОНИЗАЦИИ ЛОКАЛЬНЫХ ЦЕНТРОВ В НЕКРИСТАЛЛИЧЕСКОМ GaTe<sub>3</sub>

Чеснис А. А., Гашка К. И., Огинская А. К.,  
Бальчюнас В. Ч.

Полевая зависимость электропроводности ( $\sigma$ ) некристаллических полупроводников в сильных полях ( $E$ ), как известно, описывается экспоненциальной функцией. Показателем степени этой функции является либо  $\beta E^{1/2}$  и затем в более сильных полях  $\gamma E$ , либо лишь  $\gamma E$  с различными  $\gamma$  в различных интервалах  $E$  ( $\beta$  и  $\gamma$  — параметры, зависящие от температуры  $T$ ) [1]. Функцией  $\sigma \sim \exp \beta \tilde{E}^{1/2}$  описывается также и с пленок некристаллического GaTe<sub>3</sub> сразу же после омического участка ВАХ до внешних полей ( $\tilde{E}$ )  $(2.5 \div 3.0) \times 10^5$  В/см. При этом в данном интервале  $\tilde{E}$  наблюдаются основные признаки проявления в GaTe<sub>3</sub> процесса термополевой ионизации локальных центров (механизм Пула—Френкеля) [2].

Исследования этих пленок, продолженные нами в более сильных полях (до  $6 \cdot 10^5$  В/см), выявили отличительную особенность зависимости  $\sigma = f(\tilde{E})$ ,<sup>1</sup> заключающуюся в том, что между упомянутым участком  $\sigma \sim \exp \beta \tilde{E}^{1/2}$  ( $AB$  на рис. 1) и предпробойным с более сильной экспоненциальной зависимостью  $\sigma$  от  $\tilde{E}$  ( $CD$ ) имеет место переходный участок ( $BC$ ), электрический ток в котором описывается функцией  $I \sim \exp \alpha \tilde{E}^2$ .<sup>2</sup> На данном участке сохраняется активационный характер проводимости. Однако эффективная энергия активации, определенная из зависимости  $\ln I_0 = f(1/T)$ , где  $I_0$  — значения тока, полученные экстраполяцией прямых  $\ln I = f(\tilde{E}^2)$  к  $\tilde{E} = 0$ , изменяется с температурой в пределах от 0.04 до 0.15 эВ, т. е. она является намного меньшей, чем аналогичным образом определенная энергия активации (около 0.36 эВ) для предыдущего участка  $AB$ . Наклон указанных прямых (параметр  $\alpha$ ) с температурой увеличивается (рис. 2), а значение  $\tilde{E}$ , соответствующее точке  $C$  перехода к более сильной полевой зависимости  $\sigma$ , наоборот, имеет тенденцию к уменьшению.

Проводимость типа  $I \sim \exp \alpha \tilde{E}^2$  ранее наблюдалась при исследовании жидкого Se [3]. Однако измерения в [3] проводились на постоянном токе и, как указывается авторами, сопровождались тепловыми эффектами, которые, в принципе, могли повлиять на результаты эксперимента. В нашем случае влияние джоулева нагрева несущественно: полученные результаты не зависели от длительности измерительного импульса, а максимальное повышение температуры образца, согласно нашей оценке, не превышало 2—3 К.

Рассматриваемая зависимость  $I$  от  $\tilde{E}^2$  свойственна облегченной полем многофононной ионизации локальных центров (многофононому туннелированию) [4, 5]. Однако теория данной ионизации предусматривает уменьшение  $\alpha$  с температурой в противоположность полученным нами результатам (рис. 2). При этом, согласно [5],

$$\alpha^{1/2} = (2k)^{-1} (\hbar^2 e^2 / 3m)^{1/2} (A + 1/T), \quad (1)$$

где  $k$  и  $\hbar$  — постоянные Больцмана и Планка соответственно,  $e$  — элементарный заряд,  $m$  — эффективная масса носителя заряда,  $A$  — параметр.

Указанное несоответствие результатов эксперимента и теории, по мнению автора работы [4], следует связывать с неоднородностью распределения  $E$

<sup>1</sup> С исследовалась в образцах, аналогичных рассмотренным в [2], в импульсном режиме (длительность измерительного импульса  $2.5 \div 10$  нс) в интервале  $T$  от 220 до 330 К.

<sup>2</sup> Анализ данной зависимости графически проводился в координатах, представляющих собой всевозможные комбинации  $\ln I$ ,  $\ln (I/U)$  и  $\ln (I/U^{1/2})$  с  $\ln \tilde{E}$ ,  $\tilde{E}^{1/2}$ ,  $\tilde{E}^2$  и  $\tilde{E}^3$ . Наилучшее спрямление участка  $BC$  получено в координатах  $\ln I - \tilde{E}^2$  (рас. 1, верхняя кривая).

в некристаллическом полупроводнике и ее изменением с  $T$ . Если предположить, что к исследуемому полупроводнику применима теория сильно легированных компенсированных полупроводников, развитая в [6] для случая невырожденного электронного газа, то связь между истинным  $E$  и средним  $\tilde{E}$  можно выразить следующим образом [4]:

$$E = \tilde{E}/\eta, \quad \eta = 1 - \xi T^2, \quad \xi = \lambda \cdot (\varepsilon k/e^2 N^{1/3})^2, \quad (2)$$

где  $\lambda$  — численный коэффициент порядка единицы,  $\varepsilon$  — диэлектрическая проницаемость,  $N$  — средняя концентрация центров. Данное выражение действительно в интервале температур

$$(k/m)^{1/3} (\hbar \varepsilon / e^2 \xi)^{2/3} \equiv T_1 < T < T_2 \equiv \varepsilon k / n^{1/3} e^2 \xi \ll T_3, \quad (3)$$

где  $n$  — средняя концентрация электронов,  $T_3$  — температура, начиная с которой полупроводник становится собственным. Тогда  $\alpha^{1/3}$  в (1) с учетом (2) следует

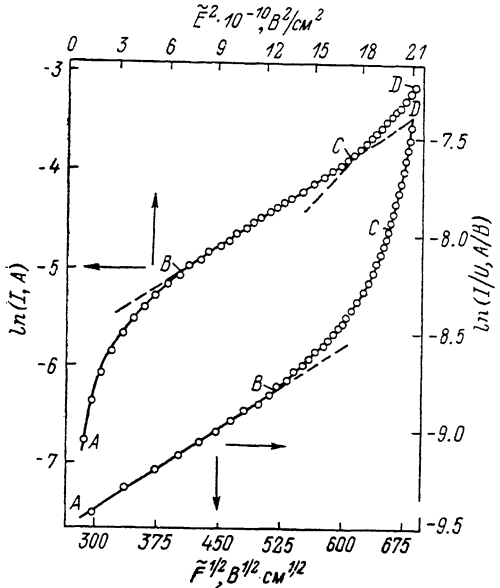


Рис. 1. Зависимость проводимости пленки некристаллического  $\text{GaTe}_3$  от внешнего электрического поля ( $T=293$  К).

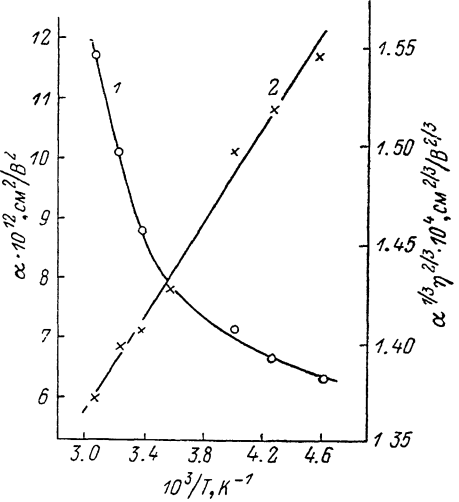


Рис. 2. Зависимость параметра  $\alpha$  [ $I \sim \exp(-\alpha \tilde{E}^2)$ ] (1) и произведения  $\alpha^{1/3} \eta^{1/3}$  [где  $\eta$  определено соотношением (2)] (2) от обратной температуры.

заменить на  $(\alpha \eta^2)^{1/3}$ . Величина  $(\alpha \eta^2)^{1/3}$ , рассчитанная по результатам эксперимента, при  $\xi=5 \cdot 10^{-6} \text{ K}^{-2}$  в соответствии с измененной (1) прямолинейной зависит от  $T^{-1}$  (рис. 2).<sup>3</sup> Наклон прямой на рис. 2 составляет  $1.2 \cdot 10^{-2} \text{ B}^{-1/3} \cdot \text{cm}^{2/3} \cdot \text{K}$ , что удовлетворительно согласуется с его теоретическим значением, определенным по (1) ( $3.68 \cdot 10^{-2} \text{ B}^{-1/3} \cdot \text{cm}^{2/3} \cdot \text{K}$  для  $m=m_0$ , где  $m_0$  — масса электрона). В данном случае  $A^{-1} \approx 130$  К. Согласно [5],  $A^{-1} = \hbar \omega / k \ln C$ , где  $\omega$  — частота колебаний примесного центра,  $C$  — порядок обратной константы электрон-фононной связи. Тогда  $\hbar \omega / k$  оказывается 300 К, т. е. порядка дебаевской температуры. Предел  $T_1$ , рассчитанный по (3) для  $m=m_0$  и  $\varepsilon=5 \div 10$ , составляет 150—230 К, что согласуется с экспериментом ( $T \geq T_1$ ). Характерный размер электронных капель во флуктуационных потенциальных ямах, оцененный по формуле  $R_t = (\varepsilon \xi^{1/3} / k)^{1/3} (\hbar^2 / me)^{2/3}$ ,<sup>[6]</sup> при  $T=300$  К и при указанных выше значениях  $\varepsilon$ , составляет  $33.6 \div 16.8 \text{ \AA}$  и, согласно [6], является весьма приемлемой величиной (соответствующий дебаевский радиус он превышает всего лишь в 4 раза).

<sup>3</sup> Данное значение  $\xi$  более чем на порядок превышает  $\xi$  для халькогенидных стекол, рассматриваемых в [1], и соответствует  $10^{18} \div 10^{19} \text{ см}^{-3}$ ,  $\varepsilon=5 \div 10$ .

На основе изложенного можно считать, что в зависимости электропроводности пленок некристаллического  $\text{GaTe}_3$  от  $E$  и  $T$  в переходной области  $BC$  (рис. 1) имеются признаки проявления многофононной ионизации локальных центров, облегченной полем, в условиях неоднородного распределения последнего.

Что же касается проводимости в последующей предпробойной области  $CD$  (рис. 1), то (судя по характеру изменения процессов при переходе из области  $AB$  в область  $BC$ ) не исключено, что она связана с «холодной» ионизацией центров посредством туннелирования электронов и без участия фононов. На такую возможность указывает, в частности, наблюдавшееся ослабление температурной зависимости проводимости с ростом  $E$ . Признаков ударной ионизации, с которой обычно связывается электроперенос в данных полях [7-9], нам не удалось обнаружить: отсутствовало свойственное ей увеличение  $I$  со временем [7, 8], а обработка данных эксперимента по методике, описанной в [9], не дала результата, характерного для этого процесса.

### Л и т е р а т у р а

- [1] Квасков В. Б., Пароль Н. В., Иофис Н. А., Горбачев В. В. — Обзоры по электрон. техн., сер. 6, Материалы, в. 1 (777). М.: ЦНИИ «Электроника», 1981. 58 с.
- [2] Чеснис А., Огинскас А., Бутинавичюте Э., Лисаускас В., Шикторов Н. — Лит. физ. сб., 1983, т. 23, № 2, с. 46—51.
- [3] Глазов В. М., Айазов А. А., Зеленов А. В., Вадов Г. И. — ФТП, 1976, т. 10, в. 4, с. 636—640.
- [4] Тимашев С. Ф. — ФТП, 1977, т. 11, в. 7, с. 1437—1438.
- [5] Карпуш В., Перель В. И. — Письма ЖЭТФ, 1985, т. 42, в. 10, с. 403—405.
- [6] Гуляев Ю. В., Плесский В. П. — ЖЭТФ, 1976, т. 71, в. 4 (10), с. 1475—1480.
- [7] Allsopp D., Thompson M. J. — J. Phys. D: Appl. Phys., 1976, v. 9, p. 2075—2085.
- [8] Walsh P. J., Thompson M. J. — J. Non-Cryst. Sol., 1980, v. 35-36, p. 1093—1098.
- [9] Еадлуев А. И., Гаман В. И., Минаев В. С. — Изв. вузов СССР, Физика, 1979, № 8, с. 64—71.

Институт физики полупроводников  
АН ЛитССР  
Вильнюс

Получено 25.12.1986  
Принято к печати 5.01.1988

ФТП, том 22, вып. 6, 1988

## ИССЛЕДОВАНИЕ СУБНАНОСЕКУНДНОГО ВКЛЮЧЕНИЯ АРСЕНИД-ГАЛЛИЕВЫХ ТИРИСТОРНЫХ СТРУКТУР

Вайнштейн С. Н., Жиляев Ю. В., Левинштейн М. Е.

Недавно в работе [1] впервые наблюдалось включение  $\text{GaAs}$   $p-n-p-n$ -структур с постоянной времени включения  $\tau \sim 10^{-10}$  с. Практическая важность эффекта определяется тем, что зарегистрированная величина  $\tau$  в  $\sim 50$  раз меньше, чем когда-либо наблюдавшееся значение  $\tau$  в Si-тиристорах. С физической точки зрения наибольший интерес представляет тот факт, что это значение  $\tau$  в несколько раз меньше, чем  $t_{\text{пр}} = W/v_s$ , — время пролета носителями базовых областей тиристорной структуры с максимально возможной скоростью насыщения  $v_s$ , ( $W$  — суммарная толщина баз).

В настоящей работе мы продолжили экспериментальное исследование обнаруженного эффекта.

В полупроводниковых структурах с  $p-n$ -переходами известны два типа эффектов, обеспечивающих переключение из состояния с низкой в состояние с высокой проводимостью за время, меньшее пролетного: TRAPATT-переключение [2] и эффект субнаносекундного обострения [3]. Несмотря на то что физические механизмы этих двух эффектов, по-видимому, различны [4, 5], известно, что как TRAPATT-переключение [6], так и эффект субнаносекундного обостре-